

Упрощенный метод приближения функций в синтезе адаптивной системы управления упругим четырехзвенным манипуляционным роботом с исполнительными электроприводами

Нгуен Дык Фу, В. В. Путов, Чу Чонг Шы
СПбГЭТУ «ЛЭТИ»
e-mail: Phubongchut@gmail.com

Аннотация. Разработана адаптивная система управления упругим четырехзвенным манипуляционным роботом с исполнительными электроприводами типовой конструкции, синтезированная на основе пошагового синтеза и метода приближения функций. В докладе предлагается упрощенная модификация известного метода приближения функций, позволяющая снизить порядок синтезированной адаптивной системы и объем вычислений. Приведены результаты сравнительного компьютерного исследования эффективности исходного модифицированного методов приближения функций в задаче управления динамикой четырехзвенного упругого манипуляционного робота.

Ключевые слова: упругий четырехзвенный манипуляционный робот; исполнительный электропривод; метод приближения функций

I. ВВЕДЕНИЕ

В докладе представлена разработка адаптивной системы управления упругим многозвенным манипуляционным роботом с исполнительными электроприводами обеспечивающая устойчивость и удовлетворительное качество аттрактивности в широком диапазоне изменения массоинерционных параметров манипулятора.

В начале 1990-х годов сформировался новый подход в синтезе адаптивных систем названным методом пошагового синтеза адаптивных систем с методом адаптивного обхода интегратора, в том числе, с функциями настройки [2–4], ставший весьма популярным в синтезе адаптивных систем управления нелинейными объектами каскадной структуры, доставляя возможность синтеза законов управления и алгоритмов адаптации для каскадных подобъектов и избавляя от необходимости громоздкого синтеза объединенной системы [5, 6], базируясь на представлении нелинейного объекта управления как многозвенного жёсткого манипулятора робота, каскадно соединенного посредством упругих связей с исполнительными электроприводами степеней подвижности, в докладе применен указанный пошаговый метод и показана возможность его реализации.

В традиционном подходе к построению точных алгоритмов адаптивного управления манипуляционными

роботами без учета динамики привода, как правило, предполагается, что модель робота линейно параметризуется в форме регрессора [5–7], однако такой подход является довольно сложным и громоздким в расчетах.

В начале двухтысячных годов заявляется новый подход к синтезу адаптивных систем управления сложными нелинейными объектами, параметризованными так называемым методом приближения функций (МПФ) (или прямым методом), довольно простым в реализации [8, 9]. Однако алгоритмы управления, синтезированные МПФ, требуют большого вычислительного ресурса для реализации в силу их высокой размерности, поэтому в докладе предлагается новая упрощенная модификация метода приближения функций, позволяющая снизить размерность задачи и объем вычислений.

II. ПОСТАНОВКА ЗАДАЧИ УПРАВЛЕНИЯ И ОСНОВЫ МПФ

Дифференциальные уравнения, описывающие упругий четырехзвенный манипуляционный робот с исполнительными электроприводами, имеют вид:

$$D(q)\ddot{q} + C(\dot{q}, q)\dot{q} + G(q) = \tau \quad (1a)$$

$$J_t \ddot{\tau} + B_t \dot{\tau} + \tau = I - f_q(\dot{q}, \ddot{q}) \quad (1b)$$

$$L\dot{I} + RI + K\dot{q} = u \quad (1b)$$

где $\tau = K_c(a - q)$; $J_t = JK_c^{-1}$; $B_t = K_b K_c^{-1}$; $I = K_m I_a$;

$f_q(\dot{q}, \ddot{q}) = J\ddot{q} + K_b \dot{q}$; $L = L_a K_m^{-1}$; $R = R_a K_m^{-1}$; $K = K_e$;

q – 4-мерный вектор обобщенных координат (углов вращения сочленений) манипулятора; D , C – 4x4 функциональные матрицы инерции манипулятора, и кориолисовых и центробежных сил; G , τ , a , I_a – 4-мерные векторы гравитационных сил; обобщенных сил, создаваемых силовыми приводами в сочленениях манипулятора; обобщенных координат (углов вращения) роторов; и токов якоря; $K_c, J, K_b, L_a, R_a, K_m, K_e$ – 4x4 диагональные постоянные матрицы, определяемые соответственно коэффициентами упругости трансмиссий, моментами инерции электроприводов, вязким трением, индуктивностью, активным сопротивлением якорных

цепей электроприводов и конструктивными данными электрических машин; $u_{я}$ – 4-мерные вектор напряжений усилителей мощности.

Цель управления заключается в построении закона управления, обеспечивающего следующее целевое неравенство:

$$|q_i(t) - qd_i(t)| \leq \varepsilon, \quad i = \overline{1,4}, \quad \forall t \geq T,$$

где ε – ошибка, характеризующая точность управления; T – заданное время настройки, $qd_i(t)$ – заданный (желаемый) угол вращения каждого звена.

Полагаем, что все параметры в матрицах D , C , G , L , R , и K постоянны, неизвестны и характеризуются известной интервальной неопределенностью, и компоненты векторов q, \dot{q}, I доступны измерению.

Из уравнений (1, а, б, в) очевидно, что система имеет каскадную структуру соединения; это позволяет использовать пошаговой синтез «backstepping».

Метод приближения функций основан на том, что любая определенная и ограниченная функция $f(t)$ может быть аппроксимирована с произвольно заданной точностью (ε) конечными линейными комбинациями ортонормированного базиса $\{z_i(t)\}$ как

$$f(t) = \sum_{i=1}^n w_i z_i(t) + \varepsilon = w^T z(t) + \varepsilon;$$

$$z(t) = [z_1(t) \cdots z_n(t)]^T; w = [w_1 \cdots w_n]^T,$$

где ε – ошибка преобразования (аппроксимации). При условии, что используется достаточное количество базисных функций (n), функция приближения $f(t)$ может быть записана как:

$$\hat{f}(t) = \hat{w}^T z(t) \quad (3)$$

В синтезе управления уравнение (3) используется для представления изменяющихся во времени параметров $f(t)$ (переменных параметров) в виде линейной комбинации компонентов ортонормированного базисного вектора $z(t)$ по компонентам неизвестного постоянного весового вектора w . Таким образом, оценки неизвестной изменяющейся во времени функции $f(t)$ сводится к оценке вектора неизвестных постоянных w .

Пусть все элементы вектора ($f(t)$) – определенные и ограниченные функции времени, что удовлетворяет всем элементам матриц и векторов в математической модели объекта (1, а, б, в).

Предположим, что все элементы некоего m -мерного вектора A аппроксимируются с использованием одного и того же числа разложений (β) и полинома с ортонормированными функциями, тогда вектор $A(t)$ можно представить в общепринятом виде произведения матриц

$$A = \{A_i\} = W_A^T Z_A + \varepsilon \quad (4)$$

где ε – ошибка приближения; W_A^T и Z_A имеет следующий вид:

$$W_A^T = \begin{bmatrix} w_1^T & 0 & \cdots & 0 \\ 0 & w_2^T & \cdots & 0 \\ \vdots & \vdots & \ddots & \vdots \\ 0 & 0 & \cdots & w_m^T \end{bmatrix}^T; Z_A = [z_1 \quad z_2 \quad \cdots \quad z_m]^T$$

каждые элементы этих матриц – это β -мерный вектор как в (3).

Очевидно, что

$$W_A^T Z_A = [w_1^T z_1 \quad w_2^T z_2 \quad \cdots \quad w_m^T z_m];$$

$$A_i = w_i^T z_i = \sum_{k=1}^{\beta} w_{ik}^T z_{ik} + \varepsilon_i$$

W_A^T – $m\beta \times m$ -мерная матрица неизвестных весовых параметров;
 Z_{L_1} – $m\beta$ -мерный вектор известных базовых функций.

III. СИНТЕЗ АЛГОРИТМА АДАПТИВНОГО УПРАВЛЕНИЯ

Шаг 1 – Найти закон управления τ в (1а).

Уравнение (1а) можно преобразовать следующим образом:

$$\ddot{q} = \tau_d + e_\tau + L_1 \quad (5)$$

где

$$L_1 = [E_4 - D(q)]\ddot{q} - C(\dot{q}, q) - G(q),$$

$$e_\tau = \tau - \tau_d.$$

E – единичная матрица, τ_d – вектор желаемых восстанавливающих сил (моментов) упругих связей.

Будем искать закон управления для τ_d имеет вид

$$\tau_d = -K_p q - K_d \dot{q} + K_p v(t) \quad (6)$$

где $v(t)$ – некий сигнал управления для получения $\tau \rightarrow \tau_d$, K_p и K_d – положительно определенные матрицы пропорциональной и дифференциальной частей.

Уравнение (5) с учетом (6) можно преобразовать к виду:

$$\dot{x}(t) = A_0 x(t) + B_0 [e_\tau + K_p v(t) + L_1] \quad (7)$$

где

$$x(t) = \begin{bmatrix} q^T & \dot{q}^T \end{bmatrix},$$

$$A_{0[8 \times 8]} = \begin{bmatrix} 0_4 & E_4 \\ -K_p & -K_d \end{bmatrix}; B_{0[8 \times 4]} = \begin{bmatrix} 0_4 \\ E_4 \end{bmatrix}.$$

Видно, что при выборе (6), (1а) преобразуется в некую квази-линейную систему (7). Будем искать закон управления $v(t)$ так, чтобы (7) становилась линейной и управляемой.

Шаг 2 – Найти закон управления v в (6).

В качестве эталонной модели системы (7) возьмем

$$\dot{x}_d(t) = A_0 x_d(t) + B_0 K_p v_d(t), \quad (8)$$

где:

$$v_d(t) = K_p^{-1}(\ddot{q}_d + K_d \dot{q}_d + K_p^{-1} q_d). \quad (9)$$

Из (7) и (8) следует

$$\dot{\tilde{x}}(t) = A_0 \tilde{x}(t) + B_0 [e_\tau + K_p L_2 + L_1], \quad (10)$$

где $\tilde{x}(t) = x(t) - x_d(t)$; $L_2 = v(t) - v_d(t)$.

Так как все элементы матриц D , C и G непрерывно ограничены, выражение L_1 можно переписать следующим образом с использованием (4):

$$L_1 = W_{L_1}^T Z_{L_1} + \varepsilon_{L_1};$$

$W_{L_1}^T$ – $4\beta_{L_1} \times 4$ -мерная матрица; Z_{L_1} – $4\beta_{L_1}$ -мерный вектор; β_{L_1} – число разложения (размерность) функционального вектора L_1 .

Из соотношения между векторами L_1 и L_2 в (10), L_2 строена так, чтобы система (10) была устойчива. Для этого положим:

$$L_2 = -K_p^{-1} \tilde{W}_{L_1}^T Z_{L_1}.$$

Тогда (10) имеет вид:

$$\dot{\tilde{x}}(t) = A_0 \tilde{x}(t) + B_0 \left(e_\tau + \tilde{W}_{L_1}^T Z_{L_1} + \varepsilon_{L_1} \right) \quad (11)$$

где $\tilde{W}_{L_1} = W_{L_1} - \hat{W}_{L_1}$.

Видно, что при выборе (9), (7) сближается с (11). Система (11) будет устойчива, если пара (A_0, B_0) – управляемая и возможно найти такой закон настройки для \hat{W}_{L_1} так, чтобы $\hat{W}_{L_1} \rightarrow W_{L_1}$.

Шаг 3 – Найти закон управления по I в (16).

Чтобы найти закон управления для I , построим следующую эталонную модель системы (16):

$$J_r \ddot{\tau}_r + B_r \dot{\tau}_r + K_r \tau_r = J_r \ddot{\tau}_d + B_r \dot{\tau}_d + K_r \tau_d, \quad (12)$$

где τ_r – вектор состояния эталонной модели (12); J_r , B_r , K_r – 4×4 -мерные матрицы, выбранные так, чтобы τ_r стремилось к τ_d .

Уравнения (16) и (12) можно переписать следующим образом:

$$\dot{x}_p = A_p x_p + B_p I - B_p f_q, \quad (13a)$$

$$\dot{x}_m = A_m x_m + B_m (\tau_d + f_\tau); \quad (13б)$$

где

$$x_{p[8 \times 1]} = \begin{bmatrix} \tau^T & \dot{\tau}^T \end{bmatrix}^T; \quad x_{m[8 \times 1]} = \begin{bmatrix} \tau_r^T & \dot{\tau}_r^T \end{bmatrix}^T; \quad f_\tau = K_r^{-1}(J_r \ddot{\tau}_d + B_r \dot{\tau}_d);$$

$$A_{p[8 \times 8]} = \begin{bmatrix} 0_{4 \times 4} & E_{4 \times 4} \\ -J_t^{-1} & -J_t^{-1} B_t \end{bmatrix}; \quad A_{m[8 \times 8]} = \begin{bmatrix} 0_{4 \times 4} & E_{4 \times 4} \\ -J_r^{-1} K_r & -J_r^{-1} B_r \end{bmatrix};$$

$$B_{p[8 \times 4]} = \begin{bmatrix} 0_{4 \times 4} \\ J_t^{-1} \end{bmatrix}; \quad B_{m[8 \times 4]} = \begin{bmatrix} 0_{4 \times 4} \\ J_r^{-1} K_r \end{bmatrix}.$$

Пусть $\tau = C_p x_p$; $\tau_r = C_m x_m$ – выходной вектор системы (13a) и (13б), тогда $C_p = C_m = [E_{4 \times 4} \quad 0_{4 \times 4}]$. Для системы (13б) считаем пару (A_m, B_m) управляемой, а пару (A_m, C_m) наблюдаемой. Тогда для адаптивной системы с эталонной моделью [9–11] желаемое I_d будем выбирать в следующем виде:

$$I_d = \Theta x_p + \Phi \tau_d + \hat{h}(f_q, f_\tau) \quad (14)$$

где Θ и Φ – матрицы, удовлетворяющие условиям $A_p + B_p \Theta = A_m$ и $B_p \Phi = B_m$; $h(f_q, f_\tau) = \Phi f_\tau + f_q$.

Подставив (14) в (13a), получаем:

$$\dot{x}_p = A_m x_p + B_m (\tau_d + f_\tau) + B_p (I - I_d)$$

Пусть $e_m = x_p - x_m$ тогда (13) можно преобразовать следующим образом:

$$\dot{e}_m = A_m e_m + B_p e_I + B_p (\hat{h} - h) \quad (15)$$

$$e_\tau = C_m e_m.$$

где $e_I = I - I_d$.

Видно, что при выборе (14), система (16) представляется в виде (15). Система (15) будет устойчива, если пара (A_m, B_p) – управляемая и возможно найти такой закон настройки для \hat{h} , чтобы $\hat{h} \rightarrow h$.

Шаг 4 – Найти закон управления u в (1в).

Будем искать закон управления u в следующем виде:

$$u = \hat{L} \dot{I}_d + \hat{R} I + \hat{K} \dot{q} - K_c e_I.$$

Введем следующие дополнительные переменные:

$$\hat{f}(\dot{I}_d, I, \dot{q}) = \hat{L} \dot{I}_d + \hat{R} I + \hat{K} \dot{q}$$

тогда

$$u = \hat{f} - K_c e_I \quad (17)$$

Поставляя (17) в (1в), получаем

$$L \dot{e}_I + K_c e_I = \hat{f} - f. \quad (18)$$

Видно, что при выборе (17) система (1в) представляется в виде (18). Система (18) будет устойчива, если выбрать $K_c > 0$ и мы смогли найти такой закон настройки для \hat{f} так, чтобы $\hat{f} \rightarrow f$. Известно, что $L > 0$.

Доказательство асимптотической устойчивости тривиального решения построенной адаптивной системы с ниже найденными законами настройки для \hat{W}_{L_1} , \hat{h} и \hat{f} .

Сделаем следующее преобразование как в (4):

$$h = W_h^T Z_h + \varepsilon_h; \quad f = W_f^T Z_f + \varepsilon_f,$$

где W_h^T, W_f^T – $4\beta_h \times 4$ и $4\beta_f \times 4$ -мерные матрицы; Z_h, Z_f – $4\beta_h$ и $4\beta_f$ -мерные векторы; β_f, β_h – числа разложения функциональных векторов f и h .

Рассмотрим следующую функцию Ляпунова:

$$V(\tilde{x}, e_m, e_I, \tilde{W}_{L_1}, \tilde{W}_h, \tilde{W}_f) = \frac{1}{2} [\tilde{x}^T P \tilde{x} + e_m^T P_e e_m + e_I^T L e_I] +$$

$$+\frac{1}{2}\left[Tr(\tilde{W}_{L_1}^T\Gamma_{L_1}\tilde{W}_{L_1})+Tr(\tilde{W}_h^TQ_h\tilde{W}_h)+Tr(\tilde{W}_f^T\Gamma_f\tilde{W}_f)\right]$$

где $\Gamma_{L_1} \in \mathbb{R}^{4\beta_{L_1} \times 4\beta_{L_1}}; Q_h \in \mathbb{R}^{4\beta_h \times 4\beta_h}; \Gamma_f \in \mathbb{R}^{4\beta_f \times 4\beta_f}$ – положительно определенные весовые матрицы.

Тогда

$$\begin{aligned} \dot{V}(\tilde{x}, e_M, e_I, \tilde{W}_{L_1}, \tilde{W}_h, \tilde{W}_f) = & -\frac{1}{2}\tilde{x}^T Q \tilde{x} - e_I^T K_c e_I + \tilde{x}^T P B_0 e_\tau + \tilde{x}^T P B_0 \varepsilon_{L_1} + \\ & + e_\tau^T e_I + e_\tau^T \varepsilon_2 + e_I^T \varepsilon_3 - Tr\left[\tilde{W}_{L_1}^T (\Gamma_{L_1} \dot{\tilde{W}}_{L_1} - Z_{L_1} \tilde{x}^T P B_0)\right] + \\ & - Tr\left[\tilde{W}_h^T (Z_h e_M^T P_t B_p + Q_h \dot{\tilde{W}}_h)\right] - Tr\left[\tilde{W}_f^T (\Gamma_f \dot{\tilde{W}}_f + Z_f e_I^T)\right] \end{aligned} \quad (19)$$

Если принять $B_M = B_p$, тогда $e_M^T P_t B_p = e_\tau^T$ (следует из (13)) и в (19) матрица P будет выбрана так, чтобы Q была определено положительной матрицей

$$A_0^T P + P A_0 = -Q.$$

При выборе следующих законов настройки:

$$\dot{\tilde{W}}_{L_1}^T = \Gamma_{L_1}^{-1} (Z_{L_1} \tilde{x}^T P B_0 - \sigma_{L_1} \hat{W}_{L_1}); \quad (20a)$$

$$\dot{\tilde{W}}_h = -Q_h^{-1} (Z_h e_\tau^T + \sigma_h \hat{W}_h); \quad (20б)$$

$$\dot{\tilde{W}}_f^T = -\Gamma_f^{-1} (Z_f e_I^T + \sigma_f \hat{W}_f), \quad (20в)$$

получаем

$$\dot{V} = -X \Lambda_1 X^T + X \Lambda_2 \varepsilon_s + \sigma_{L_1} Tr(\tilde{W}_{L_1}^T \hat{W}_{L_1}) + \sigma_h Tr(\tilde{W}_h^T \hat{W}_h) + \sigma_f Tr(\tilde{W}_f^T \hat{W}_f),$$

где:

$$\begin{aligned} X &= \begin{bmatrix} \tilde{x}^T & e_\tau^T & e_I^T \end{bmatrix}; \varepsilon_s^T = \begin{bmatrix} \varepsilon_{L_1}^T & \varepsilon_2^T & \varepsilon_3^T \end{bmatrix}; \\ \Lambda_1 &= \begin{bmatrix} \frac{1}{2}Q & -\frac{1}{2}P B_0 & 0_{8 \times 4} \\ -\frac{1}{2}(P B_0)^T & -0_4 & -\frac{1}{2}E_4 \\ 0_{4 \times 8} & -\frac{1}{2}E_4 & K_c \end{bmatrix}; \Lambda_2 = \begin{bmatrix} P B_0 & 0_{8 \times 4} & 0_{8 \times 4} \\ 0_{8 \times 4} & E_4 & 0_4 \\ 0_{8 \times 4} & 0_4 & E_4 \end{bmatrix}. \end{aligned}$$

При правильном выборе K_c , P и $\sigma_{(.)}$ можно обеспечить $\dot{V} < 0$, где $\sigma_{(.)}$ – положительные числа, являющиеся сигма-модификациями (σ -modification) соответствующих матриц или векторов (.); они подбираются по условию сохранения робастности системы управления с ошибкой приближения и учетом внешнего возмущения [9, 10].

Принимая законы управления в виде (6), (9), (14) и (17), и законы настройки в виде (20) и соответствующем выборе K_p , K_d , K_c , J_r , B_r , K_r , P и $\sigma_{(.)}$ будет иметь место $\dot{V} < 0$ и следовательно, можно утверждать, что тривиальное решение синтезированной адаптивной системы асимптотически устойчиво [10].

Замечание: Данный метод синтеза управления не требует вычисления матрицы регрессора, но требует измерения угловых скоростей вращения каждого звена манипулятора. По сравнению с прямым МПФ [8, 9] данный упрощенный метод уменьшает размерности

матриц (от $4^2 \beta \times 4$ до $4 \beta \times 4$, т.е. в 4 раза) в законе управления и законах настройки, что позволяет снизить объем вычислений.

IV. РЕЗУЛЬТАТЫ КОМПЬЮТЕРНОГО МОДЕЛИРОВАНИЯ

В качестве номинальных параметров (или средних значений) объекта были выбраны следующие значения: $m_1=50$ кг; $m_2=30$ кг; $m_3=20$ кг; $m_4=10$ кг; $I_{x1}=0.1$ кг.м²; $I_{y1}=0.1$ кг.м²; $I_{z1}=0.1$ кг.м²; $I_{x2}=0.07$ кг.м²; $I_{y2}=0.07$ кг.м²; $I_{z2}=0.07$ кг.м²; $I_{x3}=0.05$ кг.м²; $I_{y3}=0.05$ кг.м²; $I_{z3}=0.05$ кг.м²; $I_{x4}=0.03$ кг.м²; $I_{y4}=0.03$ кг.м²; $I_{z4}=0.03$ кг.м²; $l_1=0.4$ м; $l_2=1.5$ м; $l_3=1.2$ м; $l_4=0.6$ м; $r_1=0.2$ м; $r_2=0.7$ м; $r_3=0.6$ м; $r_4=0.3$ м; $g=9.8$ м/с²; $L_{0i}=0.025$ Гн; $R_{0i}=1$ Ом; $K_{m0i}=10$ Н.м/А; $K_{b0i}=5$ Н.м.с/рад; $J_{0i}=0.02$ кг.м²; $K_{c0i}=100$ Н.м/рад; $K_{e0i}=1$ В.рад/с; $i=1,4$.

Для оценки качества функционирования разработанной адаптивной системы управления робота-манипулятором были рассчитаны ошибки выполнения им движения по заданной траектории в течение заданного времени t_b по формуле:

$$A = \int_0^{t_b} |e(t)| dt = \sum_{i=1}^4 \int_0^{t_{b_i}} |q_i(t) - q_{di}(t)| dt.$$

Для параметров управления были выбраны следующие значения (полином Лежандра) $\beta_f=5$: $K_d=6 \cdot 10^4 \text{ diag}(1, 1, 1, 0.1)$;

$$K_p=2 \cdot 10^6 \text{ diag}(1, 1, 1, 0.1); \quad K_c=18E_4; \quad P=0.1E_8; \quad Q_h=E_4;$$

$$J_r=10^{-4} \text{ diag}(1, 1, 1, 0.1); \quad B_r=\text{diag}(2, 2.5, 6, 4); \quad K_r=10^3 E_4;$$

$$\omega_0=\pi/10; \quad \Gamma_{L_1}^{-1}=\Gamma_f^{-1}=0.1E_{20}; \quad \lambda_1=\lambda_2=\lambda_3=\lambda_4=22.$$

Воспроизведение движения схвата робота по окружности показано на рис. 1.

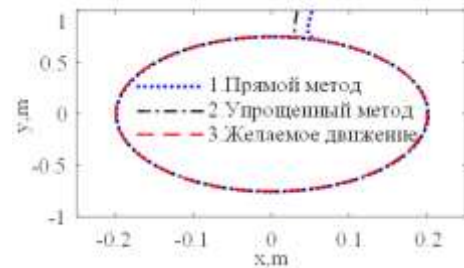


Рис. 1. Воспроизведение движения схвата робота по окружности

Результаты расчета значений ошибки A приведены в табл. 1.

ТАБЛИЦА 1 Ошибка следящей системы [РАД.С.]

Воздействие		m_{04}/m_4		
		1/3	1	3
Ступенчатое	*	0.1214	0.1231	0.1287
	**	0.1866	0.1900	0.1906
Синусоидальное	*	0.1239	0.1270	0.1368
	**	0.1927	0.1953	0.2039
По окружности	*	0.0494	0.0509	0.0559
	**	0.0757	0.0770	0.0798

а.

* - расчет по упрощенному МПФ, ** - расчет по прямому МПФ.

Как показано на рисунке и в таблице, разработанная адаптивная система имеет высокое качество (ошибки порядка 0.12) при различных условиях, тогда как для адаптивной системы, построенным известным прямым методом приближения функций, ошибка имеет большее значение при одном и том же коэффициенте управления. Параметры управления были получены пошаговым методом синтеза, что позволяет сэкономить время синтеза системы и ограничить ошибки в ее разработке.

V. ЗАКЛЮЧЕНИЕ

В докладе была разработана адаптивная система, базирующаяся на методе адаптивного пошагового синтеза и упрощенного метода приближения функций. Данная система, как и процедура синтеза, имеют несомненное практическое значение благодаря простоте и умеренным требованиям к объему вычислительного ресурса.

СПИСОК ЛИТЕРАТУРЫ

- [1] Ozgoli S., Taghirad H.D. A survey on the control of flexible joint robots // *Asian J. Control*. 2006. 8(4), pp. 1–15.
- [2] Kanellakopoulos I., Kokotovic P.V. and Morse A.S., "Systematic design of adaptive controllers for feedback linearizable systems // in *IEEE Transactions on Automatic Control*, vol. 36, no. 11, pp. 1241-1253, Nov. 1991.
- [3] Krstić M., Kanellakopoulos I., Kokotović P.V. Adaptive nonlinear control without overparametrization// *Systems & Control Letters* Volume 19, Issue 3, September 1992, Pages 177-185
- [4] Kokotovic P.V. The Joy of Feedback: Nonlinear and Adaptive // 1991 Bode Price Lecture, *IEEE Control Systems Magazine*, 1991. Vol. 12. pp. 7-17.
- [5] Qinglei Hu, Liang Xu, Aihua Zhang Adaptive backstepping trajectory tracking control of robot manipulator // *Journal of the Franklin Institute*. 2012. Vol. 349. Issue 3. pp. 1087-1105.
- [6] Patel B., Pan Y. and Ahmad U. Adaptive backstepping control approach for the trajectory tracking of mobile manipulators // 2017 IEEE International Conference on Robotics and Biomimetics (ROBIO), Macau, 2017, pp. 1769-1774.
- [7] J.-J. E. Slotine and W. Li, On the adaptive control of robot manipulators // *The International Journal of Robotics Research*, vol. 6, no. 3, pp. 49–59, Sep. 1987.
- [8] Huang A.C., Kuo Y.S. Sliding control of nonlinear systems containing time-varying uncertainties with unknown bounds // *International Journal of Control*. 2001. vol. 74, no. 3, pp. 252-264.
- [9] Huang A.C., Chien M.C. Adaptive Control of Robot Manipulators: A Unified Regressor-free Approach // Singapore: World Scientific. 2010. 276 pages.
- [10] Ioannou P. and Sun J. Robust Adaptive Control // Prentice Hall, Inc in 1996 (out of print in 2003), 848 pages, Available at: http://www-rcf.usc.edu/~ioannou/Robust_Adaptive_Control.htm (accessed: 12.07.2019).
- [11] Roy S.B., Bhasin S., & Kar I.N. Combined MRAC for Unknown MIMO LTI Systems With Parameter Convergence // *IEEE Transactions on Automatic Control*, 2018, 63(1), pp. 283–290.